

(株)神戸製鋼所 正員 ○中村 寛市

" " 広中 邦丸

" " 新家 徹

1. まえがき

吊橋メインケーブルは、ケーブル架設段階、ケーブルオーバーランドの内で織付けられた補剛桁架設段階、およびオーバーランドとラッピングワイヤー様に縫付けられた荷重載荷の段階において全く異質の剛性を有し、ケーブルに生じる応力をより正確に把握するには、各架設段階に応じて適切なケーブル剛性を考慮すべきである。筆者等は前報において、補剛桁架設段階におけるケーブル2次応力の解析法とその計算例について述べ、局部的には、かなり大きくなり2次応力が発生する可能性のある事を示した。本報では、バンドの他に更にラッピングワイヤー様に縫付けられたケーブルの、素線内にりを考慮した2次応力の解析手法と若干の数値計算例について述べる。

2. 理論の概要 素線はせん断変形を無視する事が出来るのに對し、素線の集合体であるラッピングワイヤーをケーブルではせん断応力が素線内限界剪断応力 σ_{cr} に達すると素線内にりを生じ剛性は急変する。しかも、曲げと引張を受ける部材のせん断力は軸方向に変化するので、断面分離の状態も軸方向に変化する結果、断面の応力は塊みだけでは決定できず、素線内限界剪断応力とにり領域の形状を合わせて決定される。解析法として、要素内にりを考慮した有限要素法も考えられており、ケーブルは非常に多数の素線で構成される為適用は困難と考えられる。筆者等は、内にりを生じている領域と無にり領域との境界面の連続近似を行なう事により多数の未知数を軽減を計っている。本報では、解析モデルとしてFig. 1に示す様左支端部近くに部分的なunwrapped区間 A_2 を有するものを考へ、張力 T の下で左支端断面に θ_a だけ強制回転角を与える時に生じる2次応力の解析を行なっている。基礎式の説明はFig. 2に示す様に、領域を含むケーブルの微小要素の釣合と素線内にり条件に基づいて行なったが、その際、断面力を軸線の変形による成分とにりに起因する成分とに分けた。

2-1. 解析假定

- 支端断面および無にり領域の断面は平面を保持する。
- ラッピングワイヤの縫付けによる素線内限界剪断応力は軸線方向および横断面の γ 軸方向に一定である。Fig. 2
- 内にりは横断面の γ 軸に平行に生じるものとする。Fig. 2
- 変形による素線内限界剪断応力の変化は無視出来る。

2-2. 基礎式中の記号の説明

- $\alpha_{C_c}(X, \dot{z})$: 無にり層中の (X, \dot{z}) における直応力
- $\alpha_{T_s}(X, \dot{z})$: 内にり層中の (X, \dot{z}) における直応力
- $\alpha_{C_s}(X)$: 内にり境界における軸方向せん断力
- $\alpha_{T_s}(z)$: 点における素線内限界剪断応力, $\alpha_{T_s}(z) = T_{cr} / h(z)$
- μ : ケーブル断面充実率
- S^+ : せん断応力の正負に従って $1, -1$ を取る。Fig. 2における $Q(X)$ の場合は $S^+ = 1$ である。
- $\Psi(X)$: 断面 X における内にり境界と圓心軸との距離
- $\rho_c(X)$: 断面 X における無にり層圓心とケーブル圓心との距離
- $\rho_c(z)$: ケーブル断面の (X, \dot{z}) の部分の圓心とケーブル圓心との距離
- $f_c(z) = f_c(\Psi(z))$
- ρ_u : unwrapped区間 A_2 における最外素線層圓心とケーブル圓心との距離, $\rho_u = f_c(a - \frac{D_c}{2})$, D_c : 素線直径

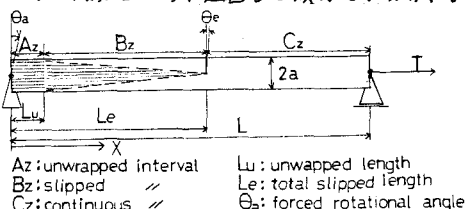


Fig. 1 Cable model for analysis

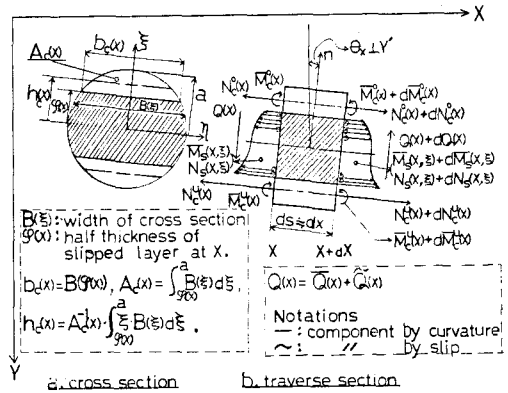


Fig. 2 Notations & inner forces on cable element

⑪ $B(\xi)$: 点における断面幅 ⑫ $b_c(x)$: 断面 X におけるエリ境界の幅。 $b_c(x) = B(\varphi(x))$

⑬ $A_c(x)$: 断面 X における無エリ断面積 ⑭ $A(\xi)$: 断面の点 ξ 部分の断面積。

$A_c(x) = A(\varphi(x))$ ⑮ L_e : 左支点からエリ領域先端までの距離 ⑯ θ_e : $x = L_e$ の断面の回転角 ⑰ E_{Tc} : 断面 X の曲率変化に抵抗する剛性 ⑱ $P(x), Q(x)$: 曲率変化成分

2-3. 基本方程式

a. 捶み曲線 $\varphi(x)$, エリ境界曲線 $\varphi_0(x)$ の状態における各軸方向応力式 --- (1)

$$① \alpha\varphi_c(x, \xi) = \alpha\varphi_c(0, h_u) + E\varphi''(\xi - h_u), \quad \alpha\varphi_s(x, \xi) = \alpha\varphi_s(0, \xi), \quad \text{for } 0 < x < L_u.$$

$$② \alpha\varphi_c(x, \xi) = \alpha\varphi_c(0, h_u) + S^* \int_{L_u}^x A_c(t) b_c(t) C_{cr}(t) dt + E\varphi''(L_u) \{h_c(L_u) - h_u\} \\ + E \int_{L_u}^x \varphi''(t) dt + E\varphi''(\xi - h_u), \quad \text{for } L_u \leq x < L_e.$$

$$③ \alpha\varphi_s(x, \xi) = \alpha\varphi_s(0, \xi) - S^*(x - L_u) B_c(\xi) \frac{d}{dx} \{B(\xi) C_{cr}(\xi)\}, \quad \text{for } L_u \leq x < L_e.$$

$$④ \alpha\varphi_c(0, h_u) = L_e^{-1} E \left[(\varphi''(L_u) - \theta_a) \cdot h_u - \varphi''(L_u) (L_e - L_u) (h_c(L_u) - h_u) \right. \\ \left. - \int_{L_u}^{L_e} [E(S^* A_c(t) b_c(t) C_{cr}(t)) dt + \int_{L_u}^x \varphi''(t) dt - \varphi''(h_u)] dx \right].$$

$$⑤ \alpha\varphi_c(0, \xi) = X^{-1} \left[(\theta_e - \theta_a) \xi E + \frac{1}{2} (x_g - L_u)^2 B_c(\xi) \frac{d}{dx} \{B(\xi) C_{cr}(\xi)\} - \int_{X_g}^{L_e} \alpha\varphi_c(x, \xi) dx \right].$$

但し、 $X_g = \varphi^{-1}(\xi)$ 、また④, ⑤式は φ を φ_0 とし、 $\xi = h_u$ および $\xi = \xi$ における軸方向内部適合条件式、 $(\theta_e - \theta_a) \xi - E^{-1} \{ \int_{X_g}^x \varphi_s(x, \xi) dx + \int_{X_g}^{L_e} \alpha\varphi_c(x, \xi) dx \} = 0$ 、より得る。

b. 捶み曲線 $\varphi(x)$ の下における、エリ境界曲線 $\varphi_0(x)$ の満足すべき微分方程式

エリ境界を横切る応力の連続条件式、 $\alpha\varphi_s(x=0, \xi) = \alpha\varphi_c(x=0, \xi)$ 、の両辺を ξ で

微分すると、 ξ の X に関する次の微分方程式を得る。 $L_u \leq x < L_e$ に対して

$$S^* A_c''(\xi) B_c(\xi) C_{cr}''(\xi) + E\varphi''''\{S^* - R(\xi)\} + S^* B_c''(\xi) \frac{d}{dx} \{B(\xi) C_{cr}(\xi)\} + E(\xi) \frac{d\varphi''}{dx} = 0, \quad (2)$$

但し、 $E(\xi) \frac{d\varphi''}{dx} = E[\varphi''(L_e) - \varphi''(0, h_u) + S^*(x - L_u)^2 B_c(\xi) \frac{d}{dx} \{B(\xi) C_{cr}(\xi)\} - \frac{1}{2} B_c(\xi) \frac{d}{dx} \{B(\xi) C_{cr}(\xi)\}] \frac{d\xi}{dx}$ 。

特殊な場合 $L_e = \infty$ 、 $C_{cr}(\xi) = C_{cr} = \text{一定}$ 、矩形断面 φ は解析解が得られる。

$$① \varphi(x) = a - k_1(x^2 - L_u^2)^{\frac{1}{2}}, \quad k_1 = C_{cr}^{-\frac{1}{2}} (j E S^* \theta_a)^{\frac{1}{2}}, \quad \text{for } L_u \leq x < L_e. \quad (3)$$

$$② \alpha\varphi_c(0, h_u) = L_e^{-1} E \theta_a (a - h_u) - S^* k_2 \operatorname{arccosh} \frac{L_e}{L_u}, \quad k_2 = j^{-\frac{1}{2}} (E S^* \theta_a C_{cr})^{\frac{1}{2}}.$$

$$③ \alpha\varphi_c(x, \xi) = \alpha\varphi_c(0, h_u) + S^* k_2 \operatorname{arccosh} \frac{x}{L_u}, \quad \text{for } L_u \leq x < L_e.$$

$$④ \alpha\varphi_s(x, \xi) = \alpha\varphi_c(0, h_u) + X_g^{-1} [E \theta_a (h_u - \xi) + S^* k_2 \{X_g \operatorname{arccosh} \frac{x}{L_u} - (X_g^2 - L_u^2)^{\frac{1}{2}}\}].$$

但し、 $L_e = (L_u + k_1^2 a)^{\frac{1}{2}}$, $X_g = \{L_u + k_1^2 (a - \xi)^2\}^{\frac{1}{2}}$.

C. エリ境界曲線 $\varphi_0(x)$ の下における、撊み曲線 $\varphi(x)$ の満足すべき微分方程式

Eq. 2 の微小要素の釣合、および曲げ剛性と曲率の関係より次式を得る。

$$\frac{d\varphi}{dx} = -\frac{M(x)}{E I_x}, \quad \frac{dM(x)}{dx} = -Q(x) + f(x), \quad \frac{dQ(x)}{dx} = T \frac{d\theta}{dx} + g(x). \quad (4)$$

但し、 $f(x) = 2 \{ \alpha\varphi_c(x, h_u) A_c \frac{d\theta}{dx} - \alpha\varphi_s(x, \xi) b_c(x) (h_u - \xi) \} \frac{d\varphi}{dx}$,
 $g(x) = -2 S^* \left[\frac{d}{dx} \{f(x) B_c(\xi) C_{cr}(\xi)\} - Q \frac{d}{dx} \{B_c(\xi) C_{cr}(\xi)\} \right] \frac{d\varphi}{dx}$.

2-4. 解析手順 2-3. に見えた様に、各式にはエリ境界曲線 $\varphi_0(x)$ が複雑に介

在してあり、 φ と φ_0 を同時に未知数とし、(1), (2), (4) 式を連立させて解くのは殆んど不可能なので、Fig. 3 に示す様に φ と φ_0 を交互に未知数としてお互いの影響を計算過程に取り込みながら収束計算を行なった。 図中、 $\Delta\varphi$ は一定の θ_a に対する $\varphi(x)$ 修正ループ内の修正量であり、 φ_0 は撊み φ の修正前後における φ の差であり、使って撊み φ の収束判定に用いられる。

2-5. 計算例 $L = 30m$, $L_u = 1.5m$, $a = 3m$, 平均軸応力 $T_f = 50 \frac{kN}{mm^2}$, 限界せん断応力 $C_{cr} = 50 \frac{kN}{mm^2}$ のケーブルモデルの左支端断面上に強制回転角 $\theta_a = 5 \times 10^{-3}, 1 \times 10^{-2}, 2 \times 10^{-2}, 3 \times 10^{-2}$ (ラジアン) を与えたものである。

3. あとがき 計算例に対する考察や、 L_u, a, θ_a が応力に与える影響については当別表の予定です。

4. 参考文献 1) 新家, 大中, 内村: "吊橋平行線ケーブルの2次応力解析(その1)", 第29回国土工学会年次学術講演会講演概要集
2) 新家, 大中, 内村: "吊橋平行線ケーブルの2次応力解析(その2)", 第30回

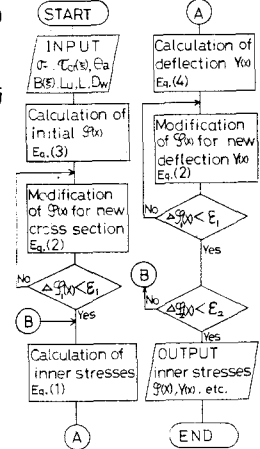


Fig. 3 Process of analysis.

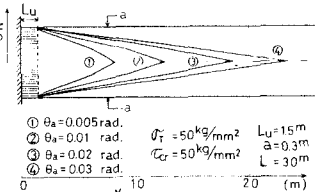


Fig. 4 Extent of slipping zone for various θ_a .

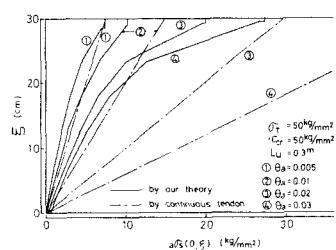


Fig. 5 Distribution of stress $\sigma(x, \theta_a)$ on class section x_0 .

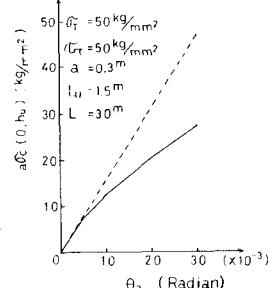


Fig. 6 Relation between θ_a and $\alpha\varphi_0(0, h_u)$.